

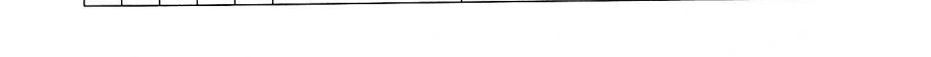


GEOPHYSICS III GÉOPHYSIQUES
LABRADOR SEA MER DU LABRADOR

Bathymetric contours in metres
Lambert Conformal Projection (Standard Parallels 45°N and 66°N)
Courbes bathymétriques en mètres
Projection conforme de Lambert (Parallèles standards 45°N et 66°N)

Scale 1:2,000,000 Échelle

Kilometres Kilomètres



LEGEND LÉGENDE

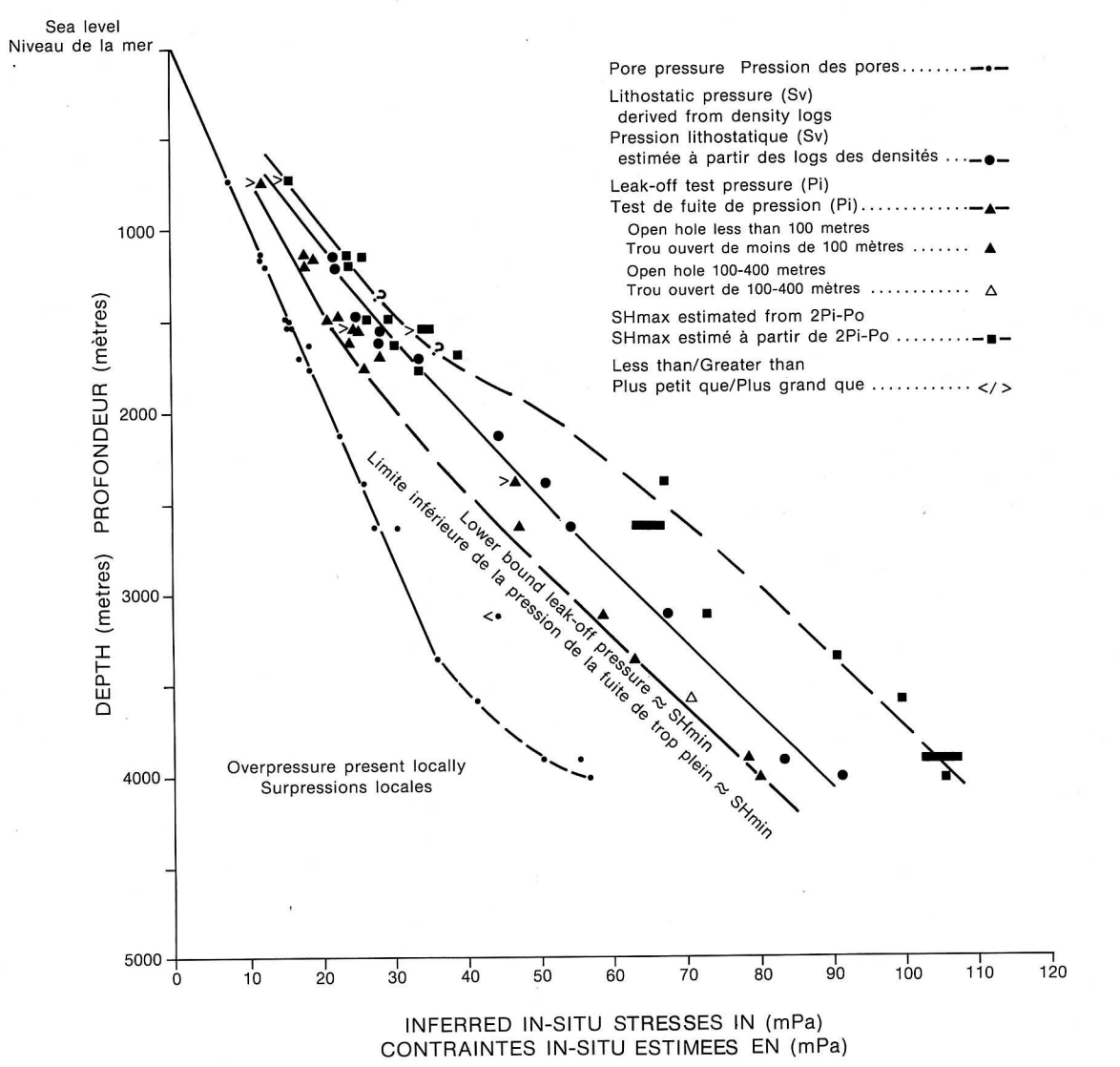
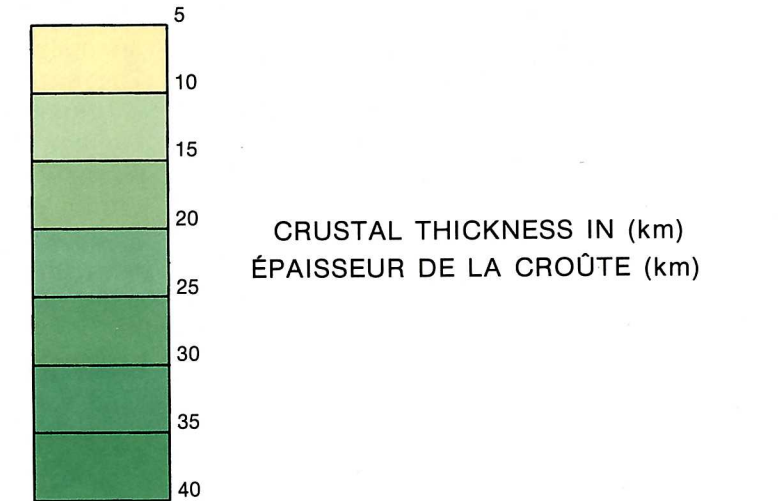
- Gas discovery Découverte de gaz
- Oil show Indice de pétrole
- Abandon/dry Abandonné/sec
- Refraction line Ligne de réfraction

**EARTHQUAKE MAGNITUDES
AMPLITUDE DU TREMBLEMENT DE TERRE**

- < 3
- ≥ 3
- ≥ 4 Richter scale Échelle de Richter
- ≥ 5

**STRESS ORIENTATIONS
ORIENTATION DES CONTRAINTES**

- Stress from breakouts A and B quality azimuths
Stress à partir des azimuts des éruptions de qualité A et B.
- Stress from breakouts C and D quality azimuths
Stress à partir des azimuts des éruptions de qualité C et D.
- Stress from earthquake focal plane solutions
Stress à partir des tremblements de terre mécanismes au foyer.



WELLS PUIITS

- | | |
|--------------------------|--------------------------|
| L001 Leif E-38 | L015 Roberval K-92 |
| L002 Leif M-48 | L016 Hare Bay E-21 |
| L003 Bjarni H-91 | L017 Tyrk P-100 |
| L004 Gudrid H-55 | L018 Bjarni O-82 |
| L005 Freydis B-87 | L019 Gilbert F-53 |
| L006 Snorri J-90 | L020 Roberval C-02 |
| L007 Karlefi A-13 | L021 South Labrador N-79 |
| L008 Indian Harbour M-52 | L022 Ogmund E-73 |
| L009 Cartier D-70 | L023 North Leif I-05 |
| L010 Cabot G-91 | L024 North Bjarni F-06 |
| L011 Herjolff M-92 | L025 Rut H-11 |
| L012 Verrazano L-77 | L026 Corte Real P-85 |
| L013 Skolp E-07 | L027 Pothurst P-19 |
| L014 Hopedale E-33 | L028 South Hopedale L-39 |

**CRUSTAL STRESS, EARTHQUAKES AND CRUSTAL THICKNESS
CONTRAINTE SUR LA CROÛTE, TREMBLEMENTS DE TERRE ET ÉPAISSEUR DE LA CROÛTE**